

УДК 532.501.34 : 532.517.2

ВЛИЯНИЕ СЖИМАЕМОСТИ ГАЗА
НА УСТОЙЧИВОСТЬ ПОГРАНИЧНОГО СЛОЯ
НАД ПРОНИЦАЕМОЙ ПОВЕРХНОСТЬЮ
ПРИ ДОЗВУКОВЫХ СКОРОСТЯХ

C. A. Гапонов

(Новосибирск)

В работе исследуется устойчивость пограничного слоя при условии, что возмущения скорости на проницаемой поверхности не равны нулю. Для пограничного слоя несжимаемой жидкости в такой постановке устойчивость рассмотрена в [1]. В случае дозвуковых скоростей влияние сжимаемости на течение внутри пограничного слоя слабое, и им в данной работе пренебрегали. Нестационарное течение в узких порах проницаемого покрытия сильно зависит от сжимаемости газа. Поэтому при выводе соотношения, связывающего колебания давления на проницаемой поверхности с колебаниями расхода через нее, влияние сжимаемости учитывалось. Показано, что граничные условия, а поэтому и устойчивость пограничного слоя на проницаемой поверхности существенно зависят от числа Маха даже при дозвуковом внешнем течении.

1. Устойчивость пограничного слоя сжимаемой жидкости при дозвуковых скоростях над непроницаемой поверхностью исследовалась в [2, 3]. Было показано, что характеристики устойчивости над теплоизолированной поверхностью слабо зависят от числа Маха. Это объясняется, с одной стороны, тем, что в отсутствие теплообмена распределение средней скорости в пограничном слое дозвуковых скоростей слабо отличается от распределения скоростей при $M=0$, значение температуры по всему слою примерно постоянно и равно температуре на внешней границе пограничного слоя [4], а с другой стороны, тем, что возмущениями температуры в пограничном слое можно пренебречь [2].

Поэтому в отсутствие теплообмена при дозвуковых скоростях распределение амплитуды возмущения функции тока $\Psi=\varphi(y) \exp[i\alpha(x-ct)]$ приближенно удовлетворяет уравнению Орра—Зоммерфельда

$$(1.1) \quad (U - c)(\varphi'' - \alpha^2\varphi) - U''\varphi = \frac{1}{i\alpha \text{Re}} (\varphi^{IV} - 2\alpha^2\varphi'' + \alpha^4\varphi).$$

Здесь обозначения общепринятые [2, 4]. Уравнение (1.1) должно быть решено при четырех граничных условиях. Согласно [1], этими условиями являются

$$\varphi(\infty) = \varphi'(\infty) = 0,$$

$$(1.2) \quad \varphi'(0) = 0, \quad (U'(0) - i\alpha/K)\varphi(0) = -\frac{1}{i\alpha \text{Re}} \varphi'''(0).$$

Первые два условия — условия затухания возмущений в бесконечности, третье — условие непроскальзывания вдоль поверхности (пластина проницаема только в нормальном направлении). Четвертое условие получено

из уравнений движения и закона проницаемости

$$(1.3) \quad v(0) = -Kp(0).$$

Здесь $v(0)$, $p(0)$ — безразмерные возмущения скорости и давления в полограничном слое вблизи поверхности проницаемой пластины; K — коэффициент пропорциональности, определенный ниже. Давление отнесено к полному напору на границе пограничного слоя ρU_e^2 , а скорость — к скорости на границе пограничного слоя U_e . Для определения K рассматривается модель, предложенная в [1]. Поры проницаемой пластины имеют цилиндрическую форму и ориентированы в нормальном направлении к поверхности пластины. Таким образом, рассматривается перфорированная пластина с диаметрами отверстий и расстояниями между ними малыми, по крайней мере, в сравнении с толщиной пограничного слоя. Протяженность отверстий (пор) достаточно большая, так что можно в них принять распределение давления, не зависящим от радиального направления. На основе этой модели для несжимаемой жидкости в [1] было получено выражение для K .

В случае сжимаемого газа для определения K следует воспользоваться теорией распространения звуковых волн в узких длинных каналах. Распространение звуковых волн характеризуется постоянной распространения λ и характеристическим импедансом Z_0 . По аналогии с электропроводной линией в [5] получены значения λ и Z_0 , выраженные через акустические параметры: Z — импеданс элемента трубы, Y — коэффициент, характеризующий запас энергии сжатия и потери тепловой энергии элемента трубы за счет теплоотдачи к стенкам трубы. Акустические параметры характеризуют соотношение между объемной скоростью и давлением. В данной работе удобно рассмотреть соотношение между средней по сечению трубы скоростью V_1 и давлением. Для закона распределения средней по сечению скорости и давления вдоль длины трубы по-прежнему можно пользоваться аналогией с электропроводной линией с импедансом SZ и вторым параметром Y/S , где S — площадь сечения трубы. Используя Z и Y , взятые из работы [6], безразмерные $Z_1 = Z \cdot S \delta / \rho U_e$ и $Y_1 = Y \cdot \rho U_e \delta / S$, можно записать

$$(1.4) \quad Z_1 = i\alpha c \frac{I_0(\sqrt{i\alpha c} \operatorname{Re} r_1)}{I_2(\sqrt{i\alpha c} \operatorname{Re} r_1)},$$

$$Y_1 = -i\alpha c M_0^2 \left[\kappa + (\kappa - 1) \frac{I_2(\sqrt{i\alpha c} \operatorname{Re} \sigma r_1)}{I_0(\sqrt{i\alpha c} \operatorname{Re} \sigma r_1)} \right].$$

В качестве размерных величин используются величины, ранее принятые в данной работе. Учитывалось, что частота $\omega = -\alpha c U_e / \delta$, где δ — толщина пограничного слоя. В (1.4) приняты следующие обозначения: M_0 — отношение скорости потока на внешней границе пограничного слоя к скорости звука вблизи поверхности, σ — число Прандтля, κ — показатель адиабаты, r_1 — отношение радиуса отверстия (поры) к толщине пограничного слоя, I_0 , I_2 — функции Бесселя нулевого и второго порядков. Следует отметить, что в данной работе рассматриваются случаи, когда распределение температуры по слою примерно постоянно, поэтому под M_0 можно понимать число Маха набегающего потока. По аналогии с [5] постоянная распространения λ и характеристический импеданс Z_0 определяются равенствами

$$\lambda = (Z_1 Y_1)^{1/2}, \quad Z_0 = Z_1 / \lambda.$$

Пусть на одном конце трубы (поры) задано соотношение

$$(1.5) \quad p(-H) = X_1 \cdot v_1(-H).$$

Тогда по аналогии с результатами, приведенными в [7], можно получить

$$\frac{v_1(0)}{p(0)} = -\frac{1}{Z_0} \frac{Z_0 - X_1 \operatorname{th}(\lambda H)}{Z_0 \operatorname{th}(\lambda H) - X_1}.$$

Если доля поверхности, занятая отверстиями, составляет n , то скорость вблизи поверхности $v(0) = nv_1(0)$, поэтому

$$(1.6) \quad K = -\frac{v(0)}{p(0)} = \frac{n}{Z_0} \frac{Z_0 - X_1 \operatorname{th}(\lambda H)}{Z_0 \operatorname{th}(\lambda H) - X_1}.$$

Значение X_1 определяется просто, если условие (1.5) записано для конца трубы (поры), примыкающего к большому объему, в котором отсутствует осредненное движение газа (например, камера слабого отсасывания). Используя равенство $v_1(-H) = v(-H)/n$ (n — пористость, H — толщина проницаемого покрытия, $v(-H)$ — возмущения скорости вблизи проницаемого покрытия), можно, согласно [4], получить

$$X_1 = X/n = (i\alpha c - \alpha^2/\operatorname{Re}) / (\alpha + \gamma)/\alpha \gamma n,$$

$$\gamma = -\sqrt{-i\alpha c \operatorname{Re}} + \alpha^2.$$

2. В некоторых частных случаях можно качественно выяснить влияние проницаемости возмущений через поверхность на устойчивость пограничного слоя.

a) Если жидкость несжимаемая ($M_0 = 0$), то следует рассмотреть предельное значение K при $|\lambda H| \rightarrow 0$. В этом случае

$$(2.1) \quad K = -Q(1+XQ)^{-1},$$

где $Q = -n/Z_1 H$. Выражение (2.1) совпадает с ранее полученным в [4]. Видно, что K зависит только от двух параметров проницаемой пластины — n/H и r_1^2 . Если диаметры отверстий настолько малы, что $|V i\alpha c \operatorname{Re} r_1| \ll 1$, то легко показать, что $K = nr_1^2 \operatorname{Re}/8H$, т. е. K зависит от одного параметра nr_1^2/H .

б) Для сжимаемой жидкости ($M_0 \neq 0$) значение $|\lambda H|$ может принимать большие значения при умеренных числах Маха, но достаточно протяженных порах (отверстиях). При $|\lambda H| \gg 1 \operatorname{th}(\lambda H) = 1$, поэтому $K = n/Z_0$ или

$$(2.2) \quad K = n\lambda/Z_1.$$

Полученное выражение не зависит от толщины проницаемого покрытия. Это означает, что с увеличением $|\lambda H|$ характеристики устойчивости будут стремиться к некоторым конечным пределам. Видно, что эти пределы будут зависеть от параметров проницаемого покрытия r_1^2 и n и от чисел M_0 , σ , ζ . Если $|V i\alpha c \operatorname{Re} r_1| \ll 1$, то можно показать, что K зависит только от параметра $nM_0 r_1^2$.

Из условия (1.3) следует, что поток энергии через проницаемую поверхность

$$N = \frac{p(0)v(0) + p(0)\bar{v}(0)}{4} = |p(0)|^2 \operatorname{Re}(K).$$

Можно показать, что при малых диаметрах пор как для несжимаемой жидкости ($|\lambda H| = 0$), так и для сжимаемой при $|\lambda H| \gg 1$ реальная часть K положительна, поэтому $N > 0$. Таким образом, энергия убывает в пограничном слое и по аналогии с определением работы [8] для гибких покрытий проницаемое покрытие можно считать пассивным. В [8] указывается, что в большинстве случаев устойчивость пограничного слоя на пассивных

покрытиях понижается в сравнении с устойчивостью на твердой непроницаемой поверхности. Поэтому следует ожидать понижения устойчивости пограничных слоев над проницаемыми поверхностями как при условии (2.1) (это находится в соответствии с результатами [1], полученными для несжимаемой жидкости), так и при условии (2.2).

В других случаях, когда для определения K необходимо использовать (1.6), простой анализ невозможен и трудно сделать какие-либо выводы без подробных расчетов. Поэтому в данной работе кроме приближенного анализа проведены некоторые расчеты с использованием (1.6).

3. Характеристики устойчивости рассчитаны для профиля скорости, заданного в виде полинома шестой степени

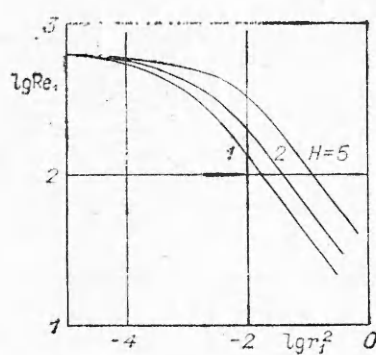
$$U = 2y - 5y^4 + 6y^5 - 2y^6,$$

который является хорошей аппроксимацией распределения продольной скорости в пограничном слое на плоской проницаемой пластине. Если диаметры отверстий проницаемой пластины малы и отсасывание отсутствует, влияние отверстий на распределение скоростей будет слабое. Поэтому в данной работе такая аппроксимация профиля скорости считается приемлемой в расчетах устойчивости пограничного слоя на плоской проницаемой поверхности без отсасывания.

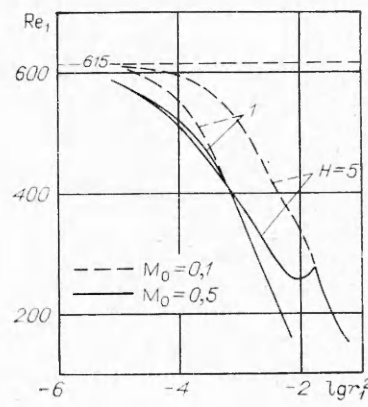
Приведенные ниже результаты получены на основе численного решения уравнения (1.1) с граничными условиями (1.2), в которых K определяется равенством (1.6). Все расчеты проведены при неизменных значениях $\sigma=0,72$, $\kappa=1,4$, $n=0,5$.

Результаты расчетов приведены на графиках, где Re_1 и α_1 — число Рейнольдса и волновое число, построенные по толщине вытеснения.

На фиг. 1 показана зависимость критических чисел Рейнольдса Re_1^*



Фиг. 1



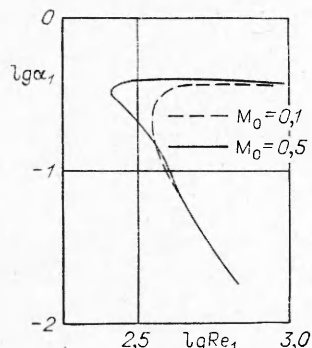
Фиг. 2

от r_1^2 при трех значениях H , ($M_0=0,1$). Дополнительные расчеты для $M_0=0$ показали, что при указанных на фиг. 1 параметрах r_1^2 и H характеристики устойчивости при $M_0=0,1$ и $M_0=0$ слабо отличаются друг от друга. Это объясняется тем, что при $M_0=0,1$ $|H| \ll 1$ и для определения K можно пользоваться соотношением (2.1). При больших значениях M_0 становится заметным влияние числа Маха на характеристики устойчивости (фиг. 2, 3). Из фиг. 2 видно, что Re_1^* при $M_0=0,5$ ниже Re_1^* , полученных при $M_0=0,1$, т. е. с увеличением M_0 понижается устойчивость.

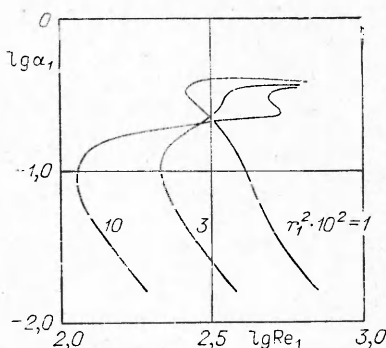
Для $M_0=0,5$ при $H \geq 2$ и $r_1^2 < 10^{-3}$ отсутствует влияние толщины проницаемой пластины на значения Re_1^* , что находится в соответствии с

выводами предыдущего пункта (см. (2.2)). В некоторой области значений r_1^2 , зависящей от M_0 и H (например, при $M_0=0,5$, $H=5$ $r_1^2 \approx 10^{-2} \div 3 \cdot 10^{-2}$), наблюдается немонотонность (хотя и слабая) зависимости Re_1^* от r_1^2 , т. е. не всегда увеличение диаметра отверстий приводит к понижению устойчивости пограничного слоя. Несомненно, что область значений, где наблюдается нарушение монотонности изменения Re_1^* при изменении r_1^2 , зависит от других параметров — σ, α, n , которые в данной работе неарьировались, а также от вида профиля скорости.

Сопоставление кривых нейтральной устойчивости (фиг. 3) при $M_0=0,1$ и $M_0=0,5$ указывает, с одной стороны, на деформацию кривой в области



Фиг. 3



Фиг. 4

Re_1^* с изменением M_0 , а с другой стороны, на совпадение ветвей этих кривых. Последнее связано с тем, что на ветвях кривой нейтральной устойчивости $|\lambda H| < 1$ и K определяется по (2.1), куда не входит значение M_0 .

На фиг. 4 показано изменение формы кривой нейтральной устойчивости ($M_0=0,5$, $H=5$) в зависимости от r_1^2 . Видно образование двух экстремальных значений Re_1 на одной кривой, наименьшее из которых — Re_1^* . Существование двух экстремальных значений Re_1 объясняет излом на кривой фиг. 2 ($M_0=0,5$, $H=5$).

Поступила 1 XI 1972

ЛИТЕРАТУРА

- Гапонов С. А. Влияние свойств пористого покрытия на устойчивость пограничного слоя. Изв. СО АН СССР, сер. техн. наук, 1971, № 3, вып. 1.
- Линь Ц. Ц. Теория гидродинамической устойчивости. М., ИЛ, 1958.
- Гапонов С. А., Маслов А. А. Устойчивость сжимаемого пограничного слоя при дозвуковых скоростях. Изв. СО АН СССР, сер. техн. наук, 1971, № 3, вып. 1.
- Шлихтинг Г. Теория пограничного слоя. М., ИЛ, 1969.
- Daniels F. B. On the Propagation of Sound Waves in a Cylindrical Conduit. J. Acoust. Soc. Amer., 1950, vol. 22, p. 563—564.
- Benade A. H. On the Propagation of Sound Waves in a Cylindrical Conduit. J. Acoust. Soc. Amer., 1968, vol. 44, No 2, p. 616—623.
- Ржевкин С. Н. Курс лекций по теории звука. М., Изд-во МГУ, 1960.
- Короткин А. И. Устойчивость ламинарного пограничного слоя в несжимаемой жидкости на упругой поверхности. Изв. АН СССР. Мех. жидк. и газа, 1966, № 3.